# CFRP 加工用切削工具への DLC コーティング

**DLC Coating on Cutting Tools for CFRP Processing** 

豊橋技科大<sup>1</sup>, オーエスジーコーティングサービス<sup>2</sup>, 伊藤光学<sup>3</sup>, オンワード技研<sup>4</sup>
○針谷 達<sup>1</sup>, 出貝 敏<sup>1</sup>, 谷本 壮<sup>1</sup>, 須田 善行<sup>1</sup>, 滝川 浩史<sup>1</sup>,
権田 英修<sup>2</sup>, 神谷 雅男<sup>3</sup>, 瀧 真<sup>4</sup>

Toyohashi Univ. Technol.<sup>1</sup>, OSG Coat. Service Co., Ltd.<sup>2</sup>,
Itoh Opt. Ind. Co., Ltd.<sup>3</sup>, Onward Ceram. Coat. Co., Ltd.<sup>4</sup>

\*Toru Harigai<sup>1</sup>, Satoshi Degai<sup>1</sup>, Tsuyoshi Tanimoto<sup>1</sup>, Yoshiyuki Suda<sup>1</sup>, Hirofumi Takikawa<sup>1</sup>,
Hidenobu Gonda<sup>2</sup>, Masao Kamiya<sup>3</sup>, Makoto Taki<sup>4</sup>

E-mail: harigai@ee.tut.ac.jp

### 1. はじめに

航空・宇宙産業を中心に、軽量化・低燃費化のために、炭素繊維強化プラスチック(CFRP)の使用機会が増加している。CFRPは難削材であるため、高い加工精度とその精度を維持可能な高い耐久性を持つ工具が必要とされている。CFRP加工切削工具には、ダイヤコーティングが施されているが、ダイヤ上にさらにダイヤモンドライクカーボン(DLC)膜をオーバーコートし、切削性能を向上させる報告があるり。本研究では、種々のDLCをダイヤコート切削工具へ成膜し、CFRP切削性能に与える違いを評価した。

## 2. 実験方法

CFRP加工専用のダイヤコーティングドリル (D-STAD) 上へ, T 字状フィルタードアーク 蒸着 (T-FAD) 装置 <sup>2)</sup>を用いて DLC を成膜し た。陰極をグラファイトとし、基板バイアス電 圧および導入雰囲気ガスを変えることで DLC 膜の膜種を作り分けた。DLC 膜中に水素を含 まず硬質な DLC 膜 (膜硬さ 60 GPa) は, 基板 バイアス電圧をパルス-100 V とし, 導入ガス無 しで成膜した。膜中に水素を 29 at.%含有し, 比較的軟質な DLC 膜(20 GPa)は、基板バイ アス電圧をパルス-100 V とし, 雰囲気ガスとし て C<sub>2</sub>H<sub>2</sub> ガスを導入し, ガス流量 50 sccm, 圧力 0.2 Pa で成膜した。DLC の膜厚は約 500 nm と した。DLC 成膜後の工具を用いて、厚さ5mm の CFRP 板材の切削試験を実施した。切削試験 には、卓上 CNC フライス盤 (Prospec PSF-240-CNC) を使用した。

## 3. 結果と考察

Fig. 1 に, 穴開け試験後の CFRP 板材を示す。 どちらの DLC 膜を用いた場合でも, 穴開け入 口側では大きなバリは発生しなかったが, 出口 側ではバリの発生が確認できた。また, Z 軸の 送り速度が最も遅い 100 mm/min において, バ リの発生が無く, 切り口が最もきれいな形状で あるように見えた。

Fig. 2 は、出口側切り口における CFRP の剥離率を示す。剥離率は、以下の式に示すように、穴径に対する CFRP の剥離径から算出した 3)。

$$F_D = (D_{max} - D_{nom})/D_{nom}$$

Table 1. Cutting holes of CFRP processed by DLC coated drills.

Rotation speed (rpm)		2000					
Z-axis feed speed (mm/min)		100	200	300	400	500	600
H-free DLC (60 GPa)	Entry side		0	0		9	1
	Exit side	•	0	9	0	1	1
DLC:H (20 GPa)	Entry side		0	0	0	9	
	Exit side	•	0	0	()	0	

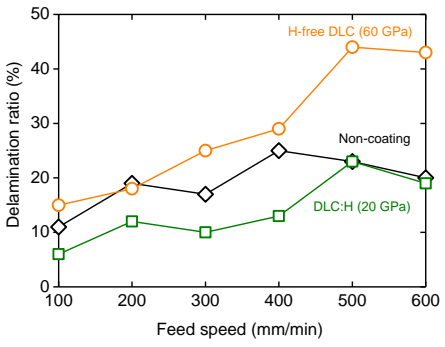


Fig. 2. Delamination ratio of CFRP around cutting hole.

ここで、 $F_D$  は剥離率、 $D_{max}$  は剥離箇所を含む 円の直径、 $D_{nom}$  は穴の直径をそれぞれ示す。Z 軸送り速度が遅い場合では、DLC 膜種やコーティングの有無による大きな差は見られなかった。送り速度の増加とともに、水素フリーで硬質な DLC をコーティングしたドリルの剥離率が増加した。一方で、水素を含み軟質な DLC 膜のドリルは、硬質な DLC 膜の場合ほど、剥離率は増加せず、速い送り速度においても低い剥離率を維持した。

### 謝辞

本研究の一部は、科学研究費補助金の支援を受けて 行われた。

#### 参考文献

- 1) H. Hanyu, et al.: Surf. Coat. Technol., 200 (2005) 1137.
- 2) H. Takikawa, et al.: Surf. Coat. Technol., 163 (2003) 368.
- 3) S. Gaugel, et al.: Compos. Struct., 155 (2016) 173.